

宮崎大学工学部 正員 藤本 康

## 1. まえがき

えびの地震以来、シラスの動的特性に関する研究がだんだん行なわれるようになつたが、その大半は斜面の安定性とシラス地帯の沖積層における流動化現象に限られている。しかし、将来、シラス地帯の開発が進むにつれて、河川堤防や土壤堤に構築材料としてのシラス採用の可能性の問題が当然生じてくるものと予想され、さらに土壤堤などを構造した場合には貯水池周辺のシラス地山からの漏水問題も重要な問題となる。この場合、シラスの特性として、耐浸食性の低さという点から、地震時における噴砂現象あるいはパイピング現象が静止時と比べてどのように変動するかという点を把握することも幾つか重要な課題である。

本文は、このような観点から乱さない地山シラスの静止時と振動時ににおける噴砂ないしはパイピング現象の把握が先端と考えて行なった基礎実験の結果をまとめたものである。そのため、データの整理解析に当つては、取扱いの限界動水勾配の概念によることにして、理論的検討は後日にゆずることにした。

## 2. 試料と実験方法

2-1 試料：乱さない試料は都城市奥ノ尾の一次シラス層から、山中式土壤硬度計による硬度 30~31.5 mm ( $60 \sim 50 \text{ kg/cm}^2$ ) のもの（試料-A）6 個、同硬度 20.0~23.0 mm ( $7 \sim 10 \text{ kg/cm}^2$ ) のもの（試料-B）3 個、計 9 個を採取した。サンプラーは内径 6 mm の鋼板製で内法寸法  $20 \times 40 \times 30 \text{ cm}$  である。サンプラーの下端刃先には  $\theta = \tan^{-1}(6/20) = 16^\circ 45'$  のチーバとつけてある。このサンプラーで地山から削り出した試料に鋼板製の透水層（内法  $22 \times 42 \times 24 \text{ cm}$ ）を嵌め、溶かしたパラフィンを流込んで固結させた後、衝撃をうけぬようにして自動車で実験室に運搬した。

図-1 に試料の粒度曲線を示す。他の物理的性質は表-1 に示したとおりで、粒度の良い典型的な非結晶シラスである。軽石や角礫の混入は鹿児島附近のもとくに比べて少なく、それらの径も小さい。

2-2. 実験装置：装置は図-2 に示したように、小型の懸垂式振動台、透水槽、送水部からなる。振動台は、周期( $T$ )が運転中に 0.6 sec から 0.1 sec まで、振幅( $A$ )は最大 40 mm まで自由に変えられる。振動加速度( $a$ )は録画紙下ラムに記録した振動波形（正弦振

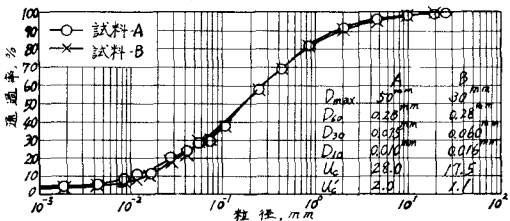


図-1 試料の粒度曲線

表-1 試料シラスの物理的指標

試料	Gs <20 mm	U <sub>n</sub>	D <sub>c</sub>	e	S <sub>r</sub>	consistency
A	2.39	2.34	20.8%	1.477 <sup>t/m</sup>	0.91	54.6% N.P.
B	2.44	2.44	26.6%	1.390 <sup>t/m</sup>	1.22	53.2% N.P.

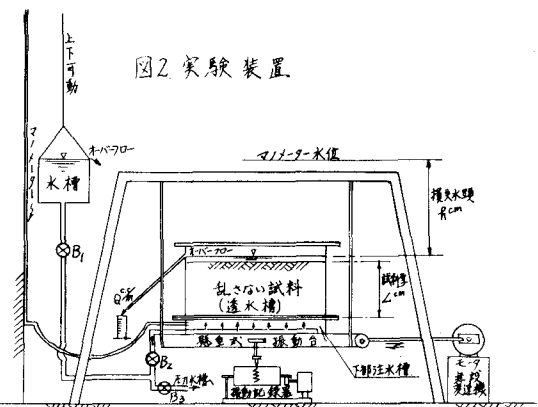


図2 実験装置

動)から計算した。試料の入った透水槽は、振動台上に固定した下部注水槽にゴムパッキンを介してボルト締めで装着される。下部注水槽にはストレーナ付の注水管と試料面の水頭測定用のマノメーターが取付けられていて、実験時には粒径2~10mmの碎石を填充し、その上に350μの金網を敷く。透水装置には、水頭が $h=3m$ までは上下可動水槽を、 $h=3\sim30m$ までは圧力水槽を使用するようだ。透水装置の切換はバルブ $B_1$ ,  $B_2$ と $B_3$ の操作で行なう。試料の層厚(浸透流路長)(L)と断面積(A)は各試料毎に計測した。

2-3. 実験方法: (1)試料表面にナーチャージのない状態で静止時の透水係数( $k_s$ )と噴砂現象発生時の限界水頭( $h_{ct}$ )を求める。このために、 $h$ を段階的に漸増し、その各段階で浸透流量( $Q$ )を測定する。 $Q$ の測定は1~2分間隔で行ない、少しづつ、3回以上 $Q$ の基準を得たときもって定常浸透となし次の水頭段階に移るようになら。 (2)振動時の透水係数( $k_d$ )と限界水頭( $h_{dc}$ )を求める。この場合、(a)  $h$ と振幅( $A$ )を一定にして下のみを変動させて $\alpha$ を大きくしてゆき、噴砂現象発生時の周期( $T_c$ )と加速度( $\alpha_c$ )を求める。(b)一定の $A$ と $T_c$ 、つまり一定加速度の下で限界水頭( $h_{dc}$ )を求める、という2種類の方法を採用した。振動継続時間は各振動段階で原則として10分間とした。噴砂現象の発生は、静止時に試料表面の変動で確認できるが、振動時には $Q$ の急増と $h$ の急減によって確認できる。

### 3. 実験結果と考察

#### 3-1. 地山シラスの限界動水勾配の計算値

静止時における限界動水勾配( $i_{ct}$ )を計算すると次のようになる。但し、尚障礙とは採取地実の自然障礙である。

試料A ( $G_s=2.34\sim2.39$ ,  $e=0.91$ )

$$i_{ct} = (G_s - 1)/(1 + e) = 0.702 \sim 0.728$$

$L=20cm$ の場合は限界水頭( $h_{ct}$ )は

$$h_{ct} = 14.04 \sim 14.56 cm$$

試料B ( $G_s=2.44$ ,  $e=1.22$ )

$$i_{ct} = 0.148$$

$$L=20cm$$
の場合は限界水頭( $h_{ct}$ )は

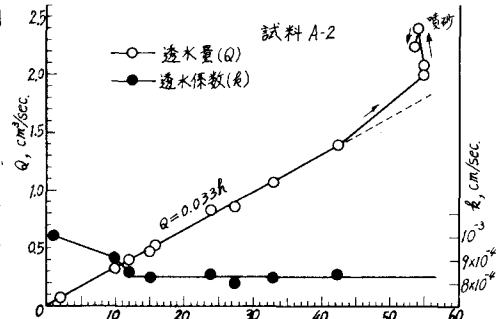


図-3. 静止時ににおける浸透流量( $Q$ )と透水係数( $k$ )と水頭( $h$ )の関係。

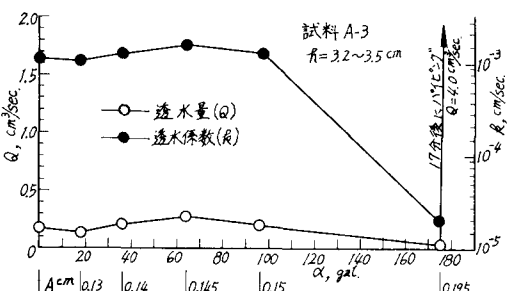


図-4. 振動時ににおける浸透量( $Q$ )と透水係数( $k$ )と加速度( $\alpha$ )の関係。

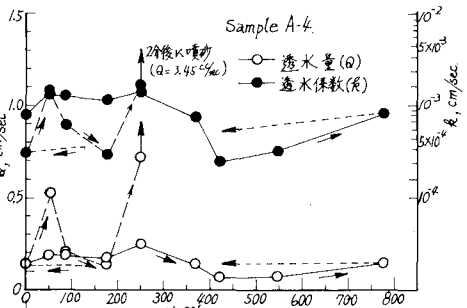


図-5. 浸透量ならびに $\alpha$ と透水係数と振動加速度との関係。

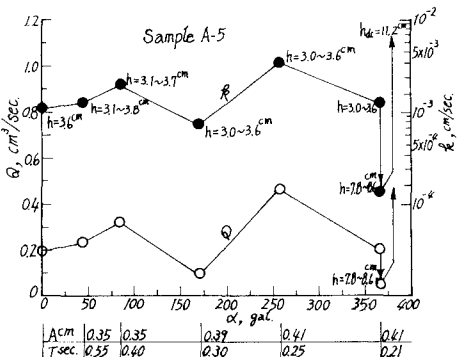


図-6. 浸透量ならびに $\alpha$ と透水係数と振動加速度との関係。

### 3-2. 静止時の透水係数と限界動水勾配

図-3に静止時における実験結果を示す。これより、 $h=43.0\text{ cm}$ までは定常的な透水現象を示していることが確認できる。この定常状態での透水係数は  $k_s = 8.3 \times 10^{-8} \text{ cm/sec}$  となる。噴砂時の限界水頭は  $h_{dc} = 55.0 \text{ cm}$  であった。この実験では  $\Delta = 21.1 \text{ cm}$  であったので、限界動水勾配は  $i_{dc} = 2.607$  となる。この値は計算値の 3.6 倍である。

### 3-3. 振動時の透水係数と限界動水勾配

図-4は試料-A-3の実験結果で、 $\alpha$ の増大に伴なって透水性が若干よくなつた後、 $\alpha = 174 \text{ gal}$  程度で急に低下し、その後17分後に噴砂現象が発生した。この現象は、振動によって乱さないシラスの骨格構造が一旦乱され、次々ダイレイターンシー効果によって間隙が減少した後に噴砂現象が起つものと考えられる。このときの限界動水勾配は  $i_{dc} = 0.153 \sim 0.162$  で、この値は  $i_{dc}$  に比較して約  $1/15$  に、計算値  $i_{ct}$  に比較して約  $1/4$  に低下している。

図-5は試料-A-4の実験結果で、はじめ  $h=3.7 \text{ cm}$  の水頭を一定に保ち、周期と速さで  $\alpha$  を増大させた実験である。これより、 $\alpha = 400 \text{ gal}$  までは図-4と略同様の傾向を示したが、噴砂を起さなかつたまで  $\alpha = 990 \text{ gal}$  に達した後一旦静止状態に戻り、振巾一定 ( $A = 0.4 \text{ cm}$ ) のまま水頭を  $h_d = 8.7 \sim 9.4 \text{ cm}$  にして再振動を与えた。その結果、 $\alpha = 180 \text{ gal}$  で  $Q$  が急減した後、 $\alpha = 252 \text{ gal}$  で噴砂が見られた。このときの限界動水勾配は  $i_{dc} = 0.413 \sim 0.446$  で計算値  $i_{ct}$  の約 60 % となる。 $i_{dc}$  の値に対しては 15.8 ~ 19.1 % に低減している。

図-6は試料-A-5の場合で、 $h_d$  と  $A$  を一定値に保つて  $\alpha$  を変化させて  $\alpha$  を増大させた。この場合、 $\alpha = 367 \text{ gal}$  附近で  $Q$  が急減したのでその時刻で  $h_d$  を増大させたところ  $h_d = 11.2 \text{ cm}$  の限界水頭を得た。この場合の  $i_{dc}$  は  $0.430 \sim 0.534$  で、 $i_{ct}$  の 70 ~ 80 % に低下している。この値はまた実測値  $i_{dc}$  の 16.5 ~ 20.5 % となる。以上の実験ではサーチャージがない。

図-7は試料表面にサーチャージとして  $350 \mu\text{m}$  の金網と径  $17 \text{ mm}$  のガラス玉を 2 重に敷き並べ、さらにプラスチック製の透明板で押立て玉の動きを拘束した場合の実験結果である。サーチャージは  $0.0046 \text{ kg/cm}^2$  となる。実験は、はじめ  $h_d$  と  $A$  を一定にして  $\alpha$  を変化させて  $\alpha$  を増大させたが、 $\alpha = 237 \text{ gal}$  でも変動が見られなかった。それで、 $\alpha = 237 \text{ gal}$  の状態で  $h_d$  を漸増したが  $h_d = 95 \text{ cm}$  に達しても定常浸透の状態が続いた。そこで、ガラス玉を押立て玉のプラスチック板を取り外してところ、 $h_d = 96.5 \text{ cm}$  でガラス玉が盛り上り、 $Q$  が急増して噴砂した。

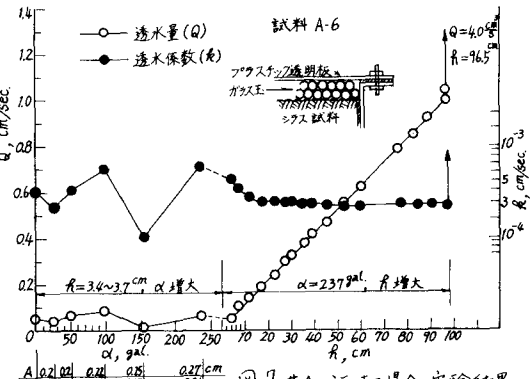


図-7. サーチャージある場合の実験結果

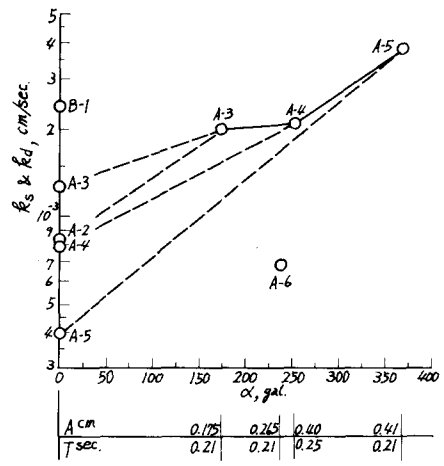


図-8. 透水係数と振動加速度との関係

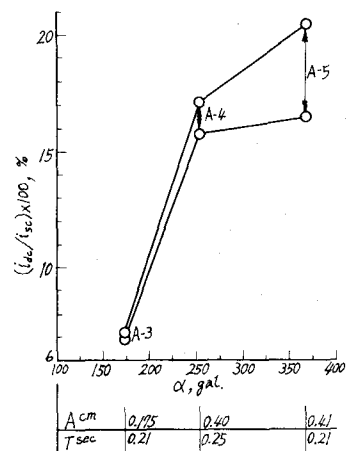


図-9. 静止時限界動水勾配に対する振動時限界動水勾配の比と振動加速度との関係

図-8は、 $k_s$ から $\alpha$ に $i_{dc}$ と $\alpha$ との関係をまとめたものである。図-9は振動時の限界動水勾配と静止時の限界動水勾配との比を振動加速度に対してプロットしたものである。図-8から、透水係数は限界状態に達するまでは振動加速度が大きくなるにつれて大きくなることが明らかである。図-9から、 $i_{dc}/i_{sc}$ は $\alpha$ が大きくなると7%から20%程度に変化することが明らかになった。

図-10は $i_{dc}$ と $i_{sc}$ から $\alpha$ に限界動水勾配と計算値 $i_{ct}$ に対するそれらの比を振動加速度に対してプロットしたものである。これより、 $\alpha=170 gal$ 附近で $i_{dc}$ は最小値を示し、その値は計算値の20%前後に低下することがわかる。

図-11は限界動水勾配の逆数、いわゆる限界クリープ比と振動条件との関係を示したもので、これから振動時の限界クリープ比は $\alpha=170 gal$ 近傍で最大値を示し、静止時の4~12倍を要することが指摘できる。

#### 4 結論

今回の実験報告は全く現象論的な傾向の指摘の外にこだつたが、以上を要約すると次のとおりである。(1)乱れなしシラスの静止時の透水係数は、山中式土壤硬度計硬度30~32 mmで $k_s = 8.3 \times 10^{-6} \sim 1.3 \times 10^{-3} cm/sec$ 、同硬度20~23 mmで $k_s = 2.4 \times 10^{-3}$ 以上と推定される。(2)振動時の透水係数は限界状態に達する前なら静止時の2~4倍( $2 \sim 3.5 \times 10^{-3} cm/sec$ )と考えられる。(3)静止時の限界動水勾配は硬度30~32 mmで $i_{sc} = 2.60$ 、硬度20~23 mmで $i_{sc} = 0.94$ 程度である。この値は計算値の3.7~4.8倍なら $\alpha$ に1.45~1.63倍である。(4)硬度シラス程実測値と計算値との開きが大きいようである。(5)振動時( $\alpha=174 \sim 370 gal$ )における限界動水勾配は硬度30~32 mmで $i_{dc} = 0.153 \sim 0.534$ となり、静止時の計算値の22~76%に低下する。(6)限界クリープ比は地震時には静止時の2~7倍が必要であろう。

本研究は九州農政局からの依頼によってしたもので、同局都城調査事務所の東原英一所長、管翠利夫技官、ならびに、乱れなし試料採取に協力していただいた基礎地盤コンサルタントK.K.の森田泰吉氏、立山正行氏、これらに実験に従事してもらつた宮崎大学工学部学生の古川、利重、田村つ3君に絶上より改めて謝意を表する次第である。

#### 参考文献

- 1). 藤本 廣：振動時ににおける砂の透水性並びにクリープ現象に関する実験的研究、宮崎大学工学部研究報告、第6号、昭和34年11月。
- 2). K.K.三橋コンサルタント・インターナショナル：昭和45年度南九州地域止木効果予備試験業務報告書、昭和45年12月。

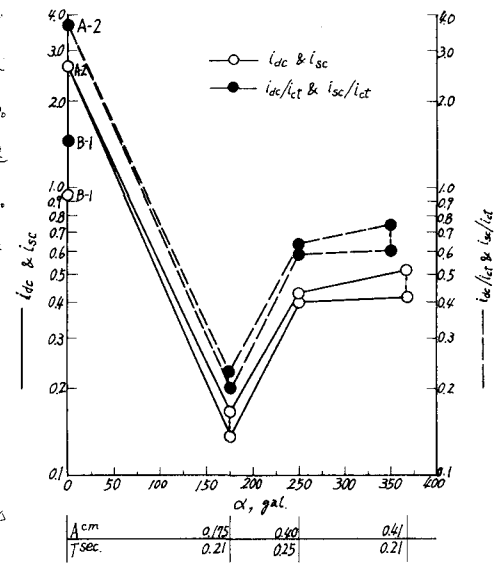


図-10. 限界動水勾配ならびに限界動水勾配の実測値と理論値の比と振動加速度との関係。

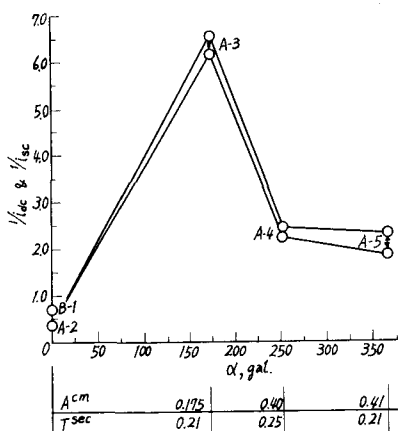


図-11. 限界クリープ比と振動加速度との関係